

# Sezione d'urto Compton

Andrea Morandi

January 2025

## 1 Sezione d'urto

La sezione d'urto si definisce come:

$$d\sigma = \frac{w}{\Phi} N_{bersagli} N_{stati} \quad (1)$$

dove:

- $w$  rappresenta la probabilità di transizione per unità di tempo fra uno stato iniziale ed uno stato finale:

$$w = \frac{|S_{fi}|^2}{t} \quad (2)$$

dove  $t$  è il tempo e  $S_{fi}$  è il valore d'aspettazione della matrice di scattering,  $S$ , fra uno stato iniziale,  $i$ , e uno finale,  $f$ .

$$S = \sum_{n=0}^{\infty} \frac{(-i)^n}{n!} \int_{-\infty}^{\infty} dt_1 \int_{-\infty}^{\infty} dt_2 \dots \int_{-\infty}^{\infty} dt_n \cdot \mathbf{T} \left( H(t_1) H(t_2) \dots H(t_n) \right) \quad (3)$$

dove  $\mathbf{T}$  rappresenta il prodotto ordinato temporale e  $H$  rappresenta l'hamiltoniana d'interazione del sistema.

Si può quindi scrivere

$$w = (2\pi)^4 V \cdot \delta^4 \left( \sum_i p_i - \sum_f p_f \right) \cdot \prod_i \left( \frac{m_i}{E_i V} \right) \cdot \prod_f \left( \frac{m_f}{E_f V} \right) \cdot |\mathcal{M}|^2 \quad (4)$$

dove  $V$  rappresenta il volume e  $\mathcal{M}$  è l'elemento di matrice di Feynman.

- $\Phi$  rappresenta il flusso, ovvero il numero di particelle per unità di tempo e superficie. Nel caso di una particella in moto lungo  $x$ , si può scrivere:

$$\Phi = \frac{1}{dt dy dz} = \frac{dx}{dx dy dz dt} = \frac{v_{rel}}{V} \quad (5)$$

dove  $v_{rel}$  rappresenta il modulo della velocità relativa fra il bersaglio e la particella.

- $N_{bersagli}$  rappresenta il numero di bersagli di scattering e possiamo considerarlo uguale a 1.
- $N_{stati}$  rappresenta lo spazio delle fasi.

$$N_{stati} = \prod \frac{d^3 p_f}{(2\pi)^3} \quad (6)$$

Riassumendo tutti i termini si può scrivere:

$$d\sigma = \frac{(2\pi)^4}{v_{rel}} \cdot \delta^4 \left( \sum_i p_i - \sum_f p_f \right) \cdot \prod_i \left( \frac{m_i}{E_i} \right) \cdot \prod_f \left( \frac{m_f}{E_f} \right) \cdot |\mathcal{M}|^2 \cdot \prod_f \frac{d^3 p_f}{(2\pi)^3} \quad (7)$$

Considerando uno scattering del tipo:

$$a + b \rightarrow 1 + 2 + \dots + f$$

si può riscrivere la sezione d'urto come:

$$d\sigma = \frac{(2\pi)^4}{4E_a E_b v_{rel}} \cdot \delta^4 \left( \sum_i p_i - \sum_f p_f \right) \cdot |\mathcal{M}|^2 \cdot \prod_j (2m_j) \cdot \prod_f \frac{d^3 p_f}{(2\pi)^3 (2E_f)} \quad (8)$$

dove la somma su  $j$  indica una somma su tutti gli stati finali e gli stati  $a$  e  $b$ .

### 1.1 Invarianza della sezione d'urto sotto trasformazione di Lorentz

La formula 8 non risulta covariante a vista, ci sono tre termini che bisogna studiare:

- $\delta^4 \left( \sum_i p_i - \sum_f p_f \right)$ : iniziamo studiando la delta di Dirac nel 4-spazio di Minkowski.

Ricordiamo che per la delta di Dirac vale la seguente proprietà:

$$\delta^4(f(x)) = \delta^4(x) \frac{1}{|J|} \quad (9)$$

dove  $|J|$  è il determinante del jacobiano della trasformazione  $f(x) \rightarrow x$ .

Nel caso in esame  $f(x) = x'$ , grazie alla relatività speciale sappiamo come trasforma un 4-vettore:

$$x'^\mu = \Lambda^\mu_\nu x^\nu \quad (10)$$

da cui si ricava

$$\frac{\partial x'^\mu}{\partial x^\nu} = \Lambda^\mu_\nu \quad (11)$$

sapendo infine che per le trasformazioni di Lorentz vale la relazione:

$$\det\{\Lambda\} = \pm 1 \quad (12)$$

si può osservare come la delta di Dirac sia invariante sotto trasformazioni di Lorentz.

- $\frac{d^3 p_f}{(2E_f)}$ : per dimostrare l'invarianza di questo termine sotto trasformazione di Lorentz partiamo riscrivendo il termine nel seguente modo:

$$\int_{-\infty}^{\infty} \frac{d^3 p}{(2E)} = \int_0^{\infty} dp_0 \int_{-\infty}^{\infty} d^3 p \delta(p_\mu p^\mu - m^2) \quad (13)$$

Dimostriamo questa uguaglianza:

$$\begin{aligned} \int_0^{\infty} dp_0 \int_{-\infty}^{\infty} d^3 p \delta(p_\mu p^\mu - m^2) &= \int_{-\infty}^{\infty} dp_0 \int_{-\infty}^{\infty} d^3 p \delta(p_\mu p^\mu - m^2) \theta(p_0) \\ &= \int_{-\infty}^{\infty} dp_0 \int_{-\infty}^{\infty} d^3 p \delta(p_0^2 - E^2) \theta(p_0) \end{aligned} \quad (14)$$

modificando l'argomento della delta di Dirac secondo la seguente relazione

$$\delta(p_0^2) = \frac{1}{2p_0} \delta(p_0) \quad (15)$$

si può togliere l'integrale in  $p_0$ , trovando:

$$\int_0^{\infty} dp_0 \int_{-\infty}^{\infty} d^3 p \delta(p_\mu p^\mu - m^2) = \int_{-\infty}^{\infty} \frac{d^3 p}{2E} \quad (16)$$

Per dimostrare l'invarianza di Lorentz del termine ripartiamo dall'equazione 14. In questa equazione si può osservare come l'argomento della delta di Dirac sia uno scalare, e quindi un invariante sotto trasformazione di Dirac, mentre la theta di Heaviside è invariante per trasformazioni di Lorentz

ortocrone dove non cambia il segno della quarta componente dei quadri-vettori. Il termine  $dp_0 dp^3 = dp^4$  è invariante poichè, l'elemento di volume trasforma nel seguente modo:

$$d^4 p' = |\Lambda| d^4 p \quad (17)$$

Poichè vale nuovamente la proprietà 21, questo termine è invariante.

Abbiamo quindi dimostrato che il termine  $\frac{d^3 p_f}{(2E_f)}$  è invariante sotto trasformazione di Lorentz.

- $E_a E_b v_{rel}$ : per studiare questo termine si parte dall'espressione della velocità relativa:

$$\begin{aligned} \vec{v}_{rel} &= \frac{\vec{p}_a}{E_a} - \frac{\vec{p}_b}{E_b} \\ v_{rel} &= \frac{1}{E_a E_b} \sqrt{E_b^2 p_a^2 + E_a^2 p_b^2 - 2E_a E_b \vec{p}_a \cdot \vec{p}_b} \end{aligned} \quad (18)$$

Analizziamo l'argomento della radice:

$$\begin{aligned} E_b^2 p_a^2 + E_a^2 p_b^2 - 2E_a E_b \vec{p}_a \cdot \vec{p}_b &= (p_b^2 + m_b^2) p_a^2 + E_a^2 (E_b^2 - m_b^2) - 2E_a E_b \vec{p}_a \cdot \vec{p}_b \\ &= E_a^2 E_b^2 + p_a^2 p_b^2 - m_b^2 (E_a^2 - p_a^2) - 2E_a E_b \vec{p}_a \cdot \vec{p}_b \\ &= E_a^2 E_b^2 + p_a^2 p_b^2 - m_a^2 m_b^2 - 2E_a E_b \vec{p}_a \cdot \vec{p}_b \\ &= (p_a \cdot p_b)^2 - m_a^2 m_b^2 \end{aligned}$$

Riassumendo si può scrivere:

$$\begin{aligned} v_{rel} &= \frac{1}{E_a E_b} \sqrt{(p_a \cdot p_b)^2 - m_a^2 m_b^2} \\ E_a E_b v_{rel} &= \sqrt{(p_a \cdot p_b)^2 - m_a^2 m_b^2} \end{aligned} \quad (19)$$

Quest'ultima espressione è invariante sotto trasformazione di Lorentz in quanto sono presenti solo quantità scalari.

Riassumendo quanto riportato si può scrivere l'espressione della sezione d'urto perché sia covariante a vista.

$$d\sigma = \frac{(2\pi)^4 \prod_j (2m_j)}{4\sqrt{(p_a \cdot p_b)^2 - m_a^2 m_b^2}} \cdot \delta^4 \left( \sum_i p_i - \sum_f p_f \right) \cdot |\mathcal{M}|^2 \cdot \prod_f \frac{d^3 p_f}{(2\pi)^3 (2E_f)} \quad (20)$$

## 2 Scattering Compton

Lo scattering Compton è un processo al secondo ordine nella teoria delle perturbazioni, con elemento di matrice di scattering:

$$S_{fi}^{(2)} = \frac{(ie)^2}{2} \int_{-\infty}^{\infty} d^4x \int_{-\infty}^{\infty} d^4y : \bar{\psi} A \psi : \left|_x \right. : \bar{\psi} A \psi : \left|_y \right. + \\ + \frac{(ie)^2}{2} \int_{-\infty}^{\infty} d^4x \int_{-\infty}^{\infty} d^4y : \bar{\psi} A \psi : \left|_x \right. : \bar{\psi} A \psi : \left|_y \right. \quad (21)$$

Questi due contributi coincidono con i seguenti diagrammi di Feynman:

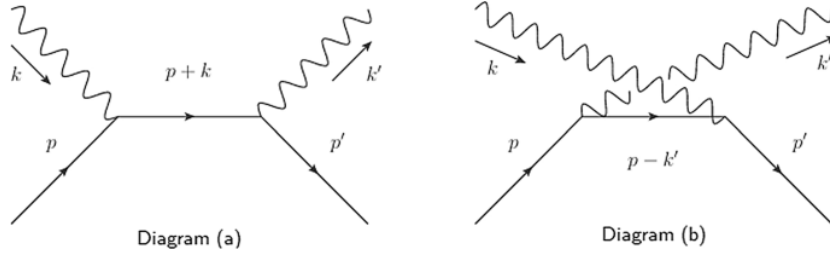


Figure 1: Diagrammi di Feynman per lo scattering Compton

dove il diagramma (a) rappresenta il canale s e il diagramma (b) rappresenta il canale u. Si può riscrivere la relazione 21 separando i contributi dei due diagrammi. Partiamo definendo alcune nuove variabili per semplicità:

- $f_1 = p + k$ , il 4-momento del propagatore fermionico del diagramma (a).
- $f_2 = p - k'$ , il 4-momento del propagatore fermionico del diagramma (b).
- $N = \left( \frac{m}{2V^2} \sqrt{\frac{1}{E_p E_{p'} \omega_k \omega_{k'}}} \right)$ , i fattori di normalizzazione.

Possiamo quindi scrivere:

$$S_{fi(a)}^{(2)} = (2\pi)^4 N \delta^4 \left( \sum_i p_i - \sum_f p_f \right) \bar{u}(p') i e \not{\epsilon}(k') \frac{i}{\not{f}_1 - m} i e \not{\epsilon}(k) u(p) \quad (22)$$

$$S_{fi(b)}^{(2)} = (2\pi)^4 N \delta^4 \left( \sum_i p_i - \sum_f p_f \right) \bar{u}(p') i e \not{\epsilon}(k) \frac{i}{\not{f}_2 - m} i e \not{\epsilon}(k') u(p) \quad (23)$$

Da queste equazioni possiamo ricavare le espressioni degli elementi di matrice di Feynman.

$$\mathcal{M}_{(a)} = \epsilon_\mu(k')\epsilon_\nu(k)\mathcal{M}_{(a)}^{\mu\nu} = \epsilon_\mu(k')\epsilon_\nu(k)\left(\bar{u}(p')ie\gamma^\mu\frac{i}{\not{f}_1 - m}ie\gamma^\nu u(p)\right) \quad (24)$$

$$\mathcal{M}_{(b)} = \epsilon_\mu(k)\epsilon_\nu(k')\mathcal{M}_{(b)}^{\mu\nu} = \epsilon_\mu(k)\epsilon_\nu(k')\left(\bar{u}(p')ie\gamma^\mu\frac{i}{\not{f}_2 - m}ie\gamma^\nu u(p)\right) \quad (25)$$

Si può apprezzare come gli elementi di matrici  $\mathcal{M}_{(a)}$  e  $\mathcal{M}_{(b)}$  sono simmetrici sotto la trasformazione:

$$\begin{cases} f_1 \rightarrow f_2 \\ k \rightarrow k' \end{cases} \quad (26)$$

Questa simmetria è nota come simmetria di crossing.

## 2.1 Invarianza della sezione d'urto sotto trasformazione di gauge

Ricordiamo che la lagrangiana della QED è invariante sotto trasformazione di gauge di seconda specie.

$$\mathcal{L}_{\text{QED}} = -\frac{1}{4}F_{\mu\nu}F^{\mu\nu} + \bar{\psi}(i\not{\partial} - m)\psi - e : \bar{\psi}A\psi : \quad (27)$$

$$\text{QT II: } \begin{cases} \psi \rightarrow e^{iqf}\psi \\ A^\mu \rightarrow A^\mu + \partial^\mu f \end{cases} \quad (28)$$

Nello spazio dei momenti la trasformazione del campo bosonico diventa:

$$\epsilon^\mu \rightarrow \epsilon^\mu + k^\mu f \quad (29)$$

Per verificare l'invarianza di gauge della sezione d'urto è necessario verificare l'invarianza dell'elemento di matrice.

$$\mathcal{M} = \epsilon_\mu\epsilon_\nu\mathcal{M}^{\mu\nu} \rightarrow \left(\epsilon_\mu\epsilon_\nu + k_\mu f\epsilon_\nu + \epsilon_\mu k_\nu f + \mathcal{O}(k^2)\right)\mathcal{M}^{\mu\nu}$$

Verificare l'invarianza di gauge si riduce quindi a verificare che valga la relazione:

$$k_\mu\mathcal{M}^{\mu\nu} = 0 \quad (30)$$

Per compiere il calcolo studiamo separatamente i termini (a) e (b).

$$\mathcal{M}_{(a)}^{\mu\nu}k_\nu = -e^2\bar{u}(p')\gamma^\mu\frac{i}{\not{p} + \not{k} - m}ku(p)$$

$$= -e^2 \bar{u}(p') \gamma^\mu \frac{i}{\not{p} + \not{k} - m} \left( \not{k} + \underbrace{\not{p} - m}_{=0} \right) u(p)$$

È possibile aggiungere un termine del tipo  $\not{p} - m$ , in quanto l'elettrone di momento  $p$  è reale e perciò soddisfa l'equazione di Dirac.

$$\mathcal{M}_{(a)}^{\mu\nu} k_\nu = -ie^2 \bar{u}(p') \gamma^\mu u(p) \quad (31)$$

$$\mathcal{M}_{(b)}^{\mu\nu} k_\nu = -e^2 \bar{u}(p') \gamma^\mu \frac{i}{\underbrace{\not{p} - \not{k}' - m}_{=\not{p}' - \not{k}}} u(p)$$

In modo analogo si ottiene:

$$\mathcal{M}_{(b)}^{\mu\nu} k_\nu = ie^2 \bar{u}(p') \gamma^\mu u(p) \quad (32)$$

Si osserva quindi che la somma delle due matrici è invariante sotto trasformazione di gauge.

$$\mathcal{M}^{\mu\nu} k_\nu = \mathcal{M}_{(a)}^{\mu\nu} k_\nu + \mathcal{M}_{(b)}^{\mu\nu} k_\nu = 0 \quad (33)$$

### 3 Calcolo della sezione d'urto Compton

Ripartiamo dall'equazione 8 nel caso dello scattering Compton, cioè un processo del tipo:

$$e^-(p) + \gamma(k) \rightarrow e^-(p') + \gamma(k')$$

Si può riscrivere la sezione d'urto come:

$$d\sigma = \frac{(2\pi)^4 m^2}{4(E_p \omega_k) v_{rel}} \cdot \delta^4(p + k - p' - k') \cdot |\mathcal{M}|^2 \cdot \frac{d^3 p_{p'}}{(2\pi)^3 (2E_{p'})} \frac{d^3 p_{k'}}{(2\pi)^3 (2\omega_{k'})} \quad (34)$$

Si può integrare sul momento dell'elettrone uscente sfruttando la delta di Dirac.

$$d\sigma = \frac{(2\pi) 4m^2}{8(E_p \omega_k E_{p'}) v_{rel}} \cdot \delta(E_p + \omega_k - E_{p'} - \omega_{k'}) \cdot |\mathcal{M}|^2 \cdot \frac{d^3 p_{k'}}{(2\pi)^3 (2\omega_{k'})}$$

Si può riscrivere l'elemento infinitesimo  $d^3 p_{k'}$  in coordinate sferiche:

$$d\sigma = \frac{4m^2}{64\pi^2 (E_p \omega_k E_{p'}) v_{rel}} \cdot \delta(E_p + \omega_k - E_{p'} - \omega_{k'}) \cdot |\mathcal{M}|^2 \cdot \frac{p_{k'}^2 dp_{k'} d\Omega'}{(\omega_{k'})} \quad (35)$$

Generalizzando la relazione 15 si può scrivere una delle proprietà della delta di Dirac:

$$\delta(f(x)) = \left( \frac{\partial f(x)}{\partial x} \right)^{-1} \delta(x) \quad (36)$$

Nel caso in esame si può quindi scrivere:

$$\delta(E_p + \omega_k - E_{p'} - \omega_{k'}) = \left| \frac{\partial(E_{p'} + \omega_{k'})}{\partial \omega_{k'}} \right|^{-1} \delta(\omega_{k'}) \quad (37)$$

Resta da calcolare il termine del cambio di variabile:

$$\frac{\partial(E_{p'} + \omega_{k'})}{\partial \omega_{k'}} = \frac{|\vec{p}'|}{\sqrt{m^2 + |\vec{p}'|^2}} \frac{\partial |\vec{p}'|}{\partial \omega_{k'}} + 1$$

$$|\vec{p}'| = \sqrt{\omega_k^2 + \omega_{k'}^2 - 2\omega_k \omega_{k'} \cos(\theta)}$$

Da cui si trova:

$$\begin{aligned} \frac{\partial |\vec{p}'|}{\partial \omega_{k'}} &= \frac{1}{\omega_k^2 + \omega_{k'}^2 - 2\omega_k \omega_{k'} \cos(\theta)} (\omega_{k'} - \omega_k \cos(\theta)) \\ &= \frac{(\omega_{k'} - \omega_k \cos(\theta))}{|\vec{p}'|} \end{aligned}$$

Riassumendo i termini troviamo:

$$\begin{aligned} \frac{\partial(E_{p'} + \omega_{k'})}{\partial \omega_{k'}} &= \frac{|\vec{p}'|}{\sqrt{m^2 + |\vec{p}'|^2}} \frac{(\omega_{k'} - \omega_k \cos(\theta))}{|\vec{p}'|} + 1 = \frac{(\omega_{k'} - \omega_k \cos(\theta))}{E_{p'}} + 1 \\ &= \frac{\omega_{k'} - E_{p'}}{E_{p'}} = \frac{\omega_{k'} - \omega_k \cos(\theta) + \omega_k + m - \omega_{k'}}{E_{p'}} \\ \frac{\partial(E_{p'} + \omega_{k'})}{\partial \omega_{k'}} &= \frac{m + \omega_k(1 - \cos(\theta))}{E_{p'}} \end{aligned}$$

Ricordando che per lo scattering Compton vale la seguente relazione:

$$\omega_{k'} = \frac{m\omega_k}{m + \omega_k(1 - \cos(\theta))} \quad (38)$$

si trova:

$$\frac{\partial(E_{p'} + \omega_{k'})}{\partial \omega_{k'}} = \frac{m\omega_k}{E_{p'}\omega_{k'}} \quad (39)$$



Per semplicità di notazione definiamo:

- $\omega_k \equiv \omega$
- $\omega_{k'} \equiv \omega'$
- $E_p \equiv E = m$
- $E_{p'} \equiv E'$

$$d\sigma = \frac{4m^2\omega'^2}{64\pi^2(E\omega E'\omega')v_{rel}} \cdot |\mathcal{M}|^2 \cdot \left| \frac{\partial(E' + \omega')}{\partial\omega'} \right|^{-1} \cdot d\Omega'$$

Inserendo il risultato riportato nella relazione 39 e sapendo che nel frame del laboratorio la velocità relativa è pari a 1

$$\vec{v}_{rel} \Big|_{lab} = \frac{\vec{k}}{\omega} - \underbrace{\frac{\vec{p}}{E}}_{\vec{p}=0} = \frac{\vec{k}}{\omega} \Rightarrow v_{rel} = 1$$

troviamo l'espressione per la sezione d'urto Compton:

$$\begin{aligned} \frac{d\sigma}{d\Omega'} &= \frac{m^2\omega'^2}{16\pi^2(E\omega' E'\omega')} \frac{E'\omega'}{m\omega} \cdot |\mathcal{M}|^2 \\ \frac{d\sigma}{d\Omega'} &= \frac{1}{(4\pi)^2} \left( \frac{\omega'}{\omega} \right)^2 \cdot |\mathcal{M}|^2 \end{aligned} \quad (40)$$

Resta da calcolare il valore dell'elemento di matrice di Feynman per questo processo.

### 3.1 Calcolo dell'elemento di matrice di Feynman

In questo calcolo faremo riferimento ai diagrammi riportati in Figura 2 per la nomenclatura.

Nel calcolo bisogna considerare la seguente espressione per l'elemento di matrice, che tiene conto della polarizzazione dei fotoni e degli spin degli elettroni.

$$|\mathcal{M}|^2 = \frac{1}{2} \sum_{spin} \frac{1}{2} \sum_{pol} \epsilon^\mu \epsilon'^\nu \epsilon^\rho \epsilon'^\eta \mathcal{M}_{\mu\nu} \mathcal{M}_{\rho\eta}^* \quad (41)$$

dove il fattore  $\frac{1}{2}$  è dato dalla media sugli stati iniziali.

### 3.1.1 Somme sulle polarizzazioni dei fotoni

Possiamo iniziare il calcolo considerando il contributo dato dalla somma sulle polarizzazioni dei fotoni.

Data la somma

$$\sum_{r=1}^2 \epsilon_r^i \epsilon_r^j$$

possiamo cercare il più generico tensore in 3 dimensioni di rango 2 tale che sia uno scalare nello spazio con base  $\{\epsilon_1, \epsilon_2, \frac{\vec{k}}{|\vec{k}|}\}$ . Questo tensore sarà:

$$T^{ij} = \delta^{ij} f(|\vec{k}|^2) + \frac{k^i k^j}{|\vec{k}|^2} g(|\vec{k}|^2)$$

Dato che  $\vec{k} \cdot \epsilon_i = 0$  con  $i = 1, 2$  e dato che si sommano solo 2 polarizzazione si pone la traccia del tensore pari a 2:

$$\begin{cases} k^i k^j T_{ij} = 0 \\ \text{Tr}\{T_{ij}\} = 2 \end{cases} \Rightarrow \begin{cases} f = -g \\ 3f + g = 2 \end{cases}$$

da cui si ricava:

$$T_{ij} = \delta_{ij} + \frac{k_i k_j}{|\vec{k}|^2} \quad (42)$$

In modo analogo si può calcolare la somma nel 4-spazio di Minkowski.

$$T_{\alpha\beta} = g_{\alpha\beta} + \frac{k_\alpha k_\beta}{k^2} \quad (43)$$

Nel caso in esame dato che i campi si accoppiano a correnti conservate vale la seguente relazione:

$$\sum_{r=1}^2 \epsilon_r^\alpha \epsilon_r^\beta = g^{\alpha\beta} \quad (44)$$

Possiamo infine sostituire la relazione appena trovata all'interno dell'equazione 41 ottenendo:

$$|\mathcal{M}|^2 = \frac{1}{4} \sum_{spin} \mathcal{M}^{\mu\nu} \mathcal{M}_{\mu\nu}^* \quad (45)$$

### 3.1.2 Somma sugli spin degli elettroni

Prima di introdurre la somma sugli spin dobbiamo ricordare che gli elementi di matrice sono dati dalla somma di due diagrammi distinti:

$$\mathcal{M}^{\mu\nu} = \mathcal{M}_{(a)}^{\mu\nu} + \mathcal{M}_{(b)}^{\mu\nu} \quad (46)$$

Si può quindi riscrivere l'equazione 45 come:

$$|\mathcal{M}|^2 = \frac{1}{4} \sum_{spin} \left[ |\mathcal{M}_{(a)}|^2 + |\mathcal{M}_{(b)}|^2 + \mathcal{M}_{(a)}^{\mu\nu} \mathcal{M}_{(b)\mu\nu}^* + \mathcal{M}_{(a)}^{*\mu\nu} \mathcal{M}_{(b)\mu\nu} \right] \quad (47)$$

Iniziamo a studiare il termine  $|\mathcal{M}_{(a)}|^2$ :

$$\begin{aligned} \frac{1}{4} \sum_{spin} |\mathcal{M}_{(a)}|^2 &= \frac{1}{4} \sum_{spin} \left[ \bar{u}(p') i e \gamma^\mu \frac{i}{\not{f}_1 - m} i e \gamma^\nu u(p) \right] \cdot \\ &\quad \cdot \left[ \bar{u}(p) i e \gamma_\nu \frac{i}{\not{f}_1 - m} i e \gamma_\mu u(p') \right] \end{aligned} \quad (48)$$

per semplicità è utile evidenziare gli indici spinoriali dell'equazione (li indichiamo con lettere minuscole)

$$\begin{aligned} &= \frac{1}{4} \sum_{spin} \left[ \bar{u}_a(p') i e \gamma_{ab}^\mu \left( \frac{i}{\not{f}_1 - m} \right)_{bc} i e \gamma_{cd}^\nu u_d(p) \right] \cdot \\ &\quad \cdot \left[ \bar{u}_e(p) i e \gamma_{ef\nu} \left( \frac{i}{\not{f}_1 - m} \right)_{fg} i e \gamma_{gh\mu} u_h(p') \right] \end{aligned}$$

Ricordando la definizione dei proiettori di energia:

$$\Lambda_{ab}^+ = \left( \frac{\not{p} + m}{2m} \right)_{ab} = \sum_{r=1}^2 u_{r\,a}(p) \bar{u}_{r\,b}(p) \quad (49)$$

si trova

$$= \frac{e^4}{4} \left[ \gamma_{ab}^\mu \left( \frac{\not{f}_1 + m}{f_1^2 + m^2} \right)_{bc} \gamma_{cd}^\nu \Lambda_{de}^+(p) \gamma_{\nu\,ef} \left( \frac{\not{f}_1 + m}{f_1^2 + m^2} \right)_{fg} \gamma_{gh\mu} \Lambda_{ha}^+(p') \right]$$

Si può osservare come questa espressione sia la traccia di una matrice nello spazio spinoriale, in quanto il primo e l'ultimo indice sono gli stessi, si può quindi scrivere:

$$\begin{aligned} \frac{1}{4} \sum_{spin} |\mathcal{M}_{(a)}|^2 &= \frac{e^4}{16m^2} \frac{1}{(f_1^2 - m^2)^2} \cdot \\ &\quad \cdot \text{Tr} \{ \gamma^\mu (\not{f}_1 + m) \gamma^\nu (\not{p} + m) \gamma_\nu (\not{f}_1 + m) \gamma_\mu (\not{p}' + m) \} \end{aligned} \quad (50)$$

In modo del tutto analogo possiamo calcolare i restanti termini:

$$\begin{aligned} \frac{1}{4} \sum_{spin} |\mathcal{M}_{(b)}|^2 &= \frac{e^4}{16m^2} \frac{1}{(f_2^2 - m^2)^2} \cdot \\ &\quad \cdot \text{Tr} \{ \gamma^\mu (\not{f}_2 + m) \gamma^\nu (\not{p} + m) \gamma_\nu (\not{f}_2 + m) \gamma_\mu (\not{p}' + m) \} \end{aligned} \quad (51)$$

$$\begin{aligned}
\frac{1}{4} \sum_{spin} \mathcal{M}_{(a)}^{\mu\nu} \mathcal{M}_{(b)\mu\nu}^* &= \frac{e^4}{16m^2} \frac{1}{(f_1^2 - m^2)(f_2^2 - m^2)} \cdot \\
&\cdot \text{Tr} \{ \gamma^\mu (\not{f}_1 + m) \gamma^\nu (\not{p} + m) \gamma_\mu (\not{f}_2 + m) \gamma_\nu (\not{p}' + m) \} \quad (52) \\
\frac{1}{4} \sum_{spin} \mathcal{M}_{(a)}^{*\nu\mu} \mathcal{M}_{(b)\nu\mu} &= \frac{e^4}{16m^2} \frac{1}{(f_1^2 - m^2)(f_2^2 - m^2)} \cdot \\
&\cdot \text{Tr} \{ \gamma^\nu (\not{f}_2 + m) \gamma^\mu (\not{p} + m) \gamma_\nu (\not{f}_1 + m) \gamma_\mu (\not{p}' + m) \} \quad (53)
\end{aligned}$$

### 3.1.3 Calcolo delle tracce

Prima di iniziare il calcolo è utile richiamare alcuni teoremi che utilizzeremo più volte:

- I **Teorema:**  $\gamma_\mu \gamma^\mu = 4$
- II **Teorema:**  $\gamma^\mu \not{a} \gamma_\mu = -2\not{a}$
- III **Teorema:**  $\text{Tr} \{ \not{a}_1 \not{a}_2 \dots \not{a}_n \} = 0$  se  $n$  è dispari.
- IV **Teorema:**  $\text{Tr} \{ \mathbb{I}_{4 \times 4} \} = 4$
- V **Teorema:**  $\text{Tr} \{ \not{a} \not{b} \} = \frac{1}{2} \text{Tr} \{ \not{a} \not{b} + \not{b} \not{a} \} = \frac{1}{2} a_\mu b_\nu \text{Tr} \{ \gamma^\mu \gamma^\nu + \gamma^\nu \gamma^\mu \} = 4a \cdot b$
- VI **Teorema:**  $\text{Tr} \{ \not{a}_1 \not{a}_2 \dots \not{a}_n \} = \text{Tr} \{ \not{a}_n \not{a}_{n-1} \dots \not{a}_1 \}$  se  $n$  è pari.
- VII **Teorema:**  $\text{Tr} \{ \not{a} \not{b} \not{c} \not{d} \} = 4 \left[ (a \cdot b)(c \cdot d) + (a \cdot d)(b \cdot c) - (a \cdot c)(b \cdot d) \right]$
- VIII **Teorema:**  $\gamma^\mu \not{a} \not{b} \not{c} \gamma_\mu = -2\not{c} \not{b} \not{a}$

Iniziamo il calcolo delle tracce partendo da quella legata all'elemento di matrice  $|\mathcal{M}_{(a)}|^2$ , riportata nell'equazione 50.

$$\text{Tr} \{ \gamma^\mu (\not{f}_1 + m) \gamma^\nu (\not{p} + m) \gamma_\nu (\not{f}_1 + m) \gamma_\mu (\not{p}' + m) \}$$

Sfruttando i teoremi I e II si può scrivere:

$$\text{Tr} \{ \gamma^\mu (\not{f}_1 + m) (-2\not{p} + 4m) (\not{f}_1 + m) \gamma_\mu (\not{p}' + m) \}$$

sfruttando nuovamente gli stessi teoremi e la ciclicità della traccia si tolgono tutte le matrici  $\gamma^\mu$ .

$$\begin{aligned}
&\text{Tr} \{ (\not{f}_1 + m) (-2\not{p} + 4m) (\not{f}_1 + m) (-2\not{p}' + 4m) \} \\
&= \text{Tr} \{ 4\not{f}_1 \not{p} \not{f}_1 \not{p}' - 16m^4 - 16m^2 (\not{f}_1 \not{p} + \not{f}_1 \not{p}' - \not{f}_1 \not{f}_1) + 4m^2 \not{p} \not{p}' \}
\end{aligned}$$

$$\begin{aligned}
&= 16 \left[ (f_1 \cdot p)(f_1 \cdot p') + (f_1 \cdot p')(p \cdot f_1) - (f_1 \cdot f_1)(p \cdot p') \right] + 16m^4 - \\
&\quad - 16m^2 \left( 4f_1 \cdot p + 4f_1 \cdot p' - 4f_1 \cdot f_1 \right) + 16m^2 p \cdot p' \\
&= 32(f_1 \cdot p)(f_1 \cdot p') + 16m^4 - 16(f_1 \cdot f_1)(p \cdot p') + 16m^2(p \cdot p') - \\
&\quad - 64m^2 \left[ (f_1 \cdot p) + (f_1 \cdot p') - (f_1 \cdot f_1) \right]
\end{aligned}$$

Ricordando come sono definiti  $f_1 = p + k$  e  $p' = p + k + k'$ , si possono esplicitare i prodotti come:

- $(f_1 \cdot p) = p \cdot k + m^2$
- $(f_1 \cdot p') = m^2 + 2p \cdot k - \underbrace{p \cdot k'}_{p \cdot k' = p' \cdot k} - k \cdot k' = p \cdot k + m^2$
- $f_1 \cdot f_1 = m^2 + 2p \cdot k$
- $p \cdot p' = p \cdot k + m^2 - p \cdot k'$

da cui si trova:

$$= 32 \left[ m^4 + m^2(p \cdot k) + (p \cdot k)(p \cdot k') \right]$$

Riassumendo si trova:

$$\frac{1}{4} \sum_{spin} |\mathcal{M}_{(a)}|^2 = \frac{2e^4}{(f_1^2 - m^2)^2} \left[ m^2 + (p \cdot k) + \frac{(p \cdot k)(p \cdot k')}{m^2} \right] \quad (54)$$

Per calcolare la traccia legata all'elemento di matrice  $|\mathcal{M}_{(b)}|^2$  basta applicare la simmetria di crossing, riportata nella relazione 26.

$$\frac{1}{4} \sum_{spin} |\mathcal{M}_{(b)}|^2 = \frac{2e^4}{(f_2^2 - m^2)^2} \left[ m^2 + (p \cdot k') + \frac{(p \cdot k')(p \cdot k)}{m^2} \right] \quad (55)$$

Restano da calcolare le tracce legate agli elementi di matrice misti, iniziamo dal termine  $\mathcal{M}_{(a)}^{\mu\nu} \mathcal{M}_{(b)}^*{}_{\mu\nu}$ :

$$\begin{aligned}
&\text{Tr} \{ \gamma^\mu (\not{f}_1 + m) \gamma^\nu (\not{p} + m) \gamma_\mu (\not{f}_2 + m) \gamma_\nu (\not{p}' + m) \} \\
&= \underbrace{\text{Tr} \{ \gamma^\mu (\not{f}_1 + m) \gamma^\nu (\not{p} + m) \gamma_\mu (\not{f}_2 + m) \gamma_\nu \not{p}' \}}_{T_1} + \\
&\quad + \underbrace{m \text{Tr} \{ \gamma^\mu (\not{f}_1 + m) \gamma^\nu (\not{p} + m) \gamma_\mu (\not{f}_2 + m) \gamma_\nu \}}_{T_2} \quad (56)
\end{aligned}$$

Iniziamo calcolando il termine  $T_2$ :

$$T_2 = \text{Tr}\{\gamma_\nu \gamma^\mu (\not{f}_1 + m) \gamma^\nu (\not{p} + m) \gamma_\mu (\not{f}_2 + m)\}$$

Ricordando le relazioni:

$$\gamma^\mu \not{f}_1 = f_1^\mu \quad (57)$$

$$\{\gamma^\mu, \gamma^\nu\} = 2g^{\mu\nu} \quad (58)$$

e il teorema I, si trova:

$$\begin{aligned} &= \text{Tr}\{(4f_1^\mu - 2m\gamma^\mu)(\not{p} + m)\gamma_\mu(\not{f}_2 + m)\} \\ &= \text{Tr}\{4(\not{p} + m)\not{f}_1(\not{f}_2 + m) - 2m \underbrace{\gamma^\mu(\not{p} + m)\gamma_\mu}_{-2\not{p} + 4m}(\not{f}_2 + m)\} \\ &= \text{Tr}\{4(\not{p} + m)\not{f}_1(\not{f}_2 + m) - 2m(-2\not{p} + 4m)\gamma_\mu(\not{f}_2 + m)\} \\ T_2 &= 16m^2 \left[ (p \cdot f_1) + (p \cdot f_2) + (p \cdot f_2) - 2m^2 \right] \end{aligned} \quad (59)$$

Resta da calcolare  $T_1$ :

$$T_1 = \text{Tr}\{(\not{f}_1 + m)\gamma^\nu(\not{p} + m)\gamma_\mu(\not{f}_2 + m)\gamma_\nu \not{p}' \gamma^\mu\}$$

Usando i teoremi I e VIII e la relazione 57, si trova:

$$\begin{aligned} &= \text{Tr}\{(\not{f}_1 + m)\gamma^\nu(\not{p} + m)(-2\not{p}'\gamma_\nu \not{f}_2 + 4mp'_\nu)\} \\ &= \text{Tr}\{(\not{f}_1 + m)\gamma^\nu(\not{p} + m)(-2\not{p}'\gamma_\nu \not{f}_2 + 4mp'_\nu)\} \\ &= \text{Tr}\{(\not{f}_1 + m)(-8\not{p}\not{p}'\not{f}_2 + 4m\not{p}'\not{f}_2)\} + 4m \text{Tr}\{(\not{f}_1 + m)\not{p}'(\not{p} + m)\} \\ &= \text{Tr}\{-8\not{f}_1\not{p}\not{p}'\not{f}_2 + 4m^2\not{p}'\not{f}_2\} + 4m^2 \text{Tr}\{\not{f}_1\not{p}' + \not{p}'\not{p}\} \\ &= -32 \left[ (f_1 \cdot p)(p' \cdot f_2) + (f_1 \cdot f_2)(p \cdot p') - (f_1 \cdot p')(p \cdot p') - (f_1 \cdot p')(f_2 \cdot p) \right] + \\ &\quad + 16m^2 \left[ (p' \cdot f_2) + (f_1 \cdot f_2)(p \cdot p') - (f_1 \cdot p') + (p \cdot p') \right] \end{aligned}$$

Ricordando come sono definiti  $f_1 = p + k$ ,  $f_2 = p - k'$  e  $p' = p + k + k'$ , si possono esplicitare i prodotti come:

- $(f_1 \cdot p) = p \cdot k + m^2$
- $(f_1 \cdot p') = p \cdot k + m^2$
- $(f_2 \cdot p) = m^2 - p \cdot k'$
- $(f_2 \cdot p') = m^2 - p \cdot k'$
- $f_1 \cdot f_2 = m^2 + 2p \cdot k - 2p \cdot k'$

- $p \cdot p' = p \cdot k + m^2 - p \cdot k'$

da cui si trova:

$$\begin{aligned}
&= -32 \left[ m^4 + 3m^2(p \cdot k) - 2(p \cdot k)(p \cdot k') - m^2(p \cdot k') \right] + \\
&\quad + 16 \left[ 3m^4 + 2m^2(p \cdot k) - 2m^2(p \cdot k') \right] \\
T_1 &= 16 \left[ m^4 - 4m^2(p \cdot k) - 4(p \cdot k)(p \cdot k') \right] \tag{60}
\end{aligned}$$

Riassumendo i termini  $T_1$  e  $T_2$  si trova:

$$T_1 + T_2 = 16m^2 \left[ 2m^2 - (p \cdot k') + (p \cdot k) \right] \tag{61}$$

da cui:

$$\frac{1}{4} \sum_{spin} \mathcal{M}_{(a)}^{\mu\nu} \mathcal{M}_{(b)\mu\nu}^* = \frac{e^4}{(f_1^2 - m^2)(f_2^2 - m^2)} \left[ 2m^2 - (p \cdot k') + (p \cdot k) \right] \tag{62}$$

Per simmetria di crossing si osserva come:

$$\frac{1}{4} \sum_{spin} \mathcal{M}_{(a)}^{\mu\nu} \mathcal{M}_{(b)\mu\nu}^* = \frac{1}{4} \sum_{spin} \mathcal{M}_{(a)}^{*\nu\mu} \mathcal{M}_{(b)\nu\mu} \tag{63}$$

Avendo calcolato tutti i termini dell'equazione 47, si può scrivere l'elemento di matrice:

$$\begin{aligned}
|\mathcal{M}|^2 &= \frac{e^4}{2} \left[ \underbrace{\frac{1}{(f_1^2 - m^2)^2} \left( m^2 + (p \cdot k) + \frac{(p \cdot k)(p \cdot k')}{m^2} \right)}_{\frac{1}{4} \sum_{spin} |\mathcal{M}_{(a)}|^2} + \right. \\
&\quad + \underbrace{\frac{1}{(f_2^2 - m^2)^2} \left( m^2 + (p \cdot k') + \frac{(p \cdot k')(p \cdot k)}{m^2} \right)}_{\frac{1}{4} \sum_{spin} |\mathcal{M}_{(b)}|^2} + \\
&\quad \left. + \underbrace{\frac{1}{(f_1^2 - m^2)(f_2^2 - m^2)} (2m^2 - (p \cdot k') + (p \cdot k))}_{\frac{1}{4} \sum_{spin} \mathcal{M}_{(a)}^{\mu\nu} \mathcal{M}_{(b)\mu\nu}^* + \frac{1}{4} \sum_{spin} \mathcal{M}_{(a)}^{*\nu\mu} \mathcal{M}_{(b)\nu\mu}} \right] \\
&= \frac{e^4}{2m^2} \left[ m^4 \left( \frac{1}{p \cdot k} - \frac{1}{p \cdot k'} \right)^2 + m^2 \left( \frac{2}{p \cdot k} - \frac{2}{p \cdot k'} \right) + \frac{p \cdot k'}{p \cdot k} + \frac{p \cdot k}{p \cdot k'} \right]
\end{aligned}$$

Conoscendo i 4-vettori, si può completare il calcolo:

- $p = (m, \vec{0})$
- $k = (\omega, \vec{k})$
- $k' = (\omega', \vec{k}')$

$$\begin{aligned}
&= \frac{e^4}{2m^2} \left[ m^4 \left( \frac{1}{m\omega} - \frac{1}{m\omega'} \right)^2 + m^2 \left( \frac{2}{m\omega} - \frac{2}{m\omega'} \right) + \frac{\omega'}{\omega} + \frac{\omega}{\omega'} \right] \\
&\quad \frac{1}{m\omega} - \frac{1}{m\omega'} = \frac{1}{m\omega} - \frac{1 + \frac{\omega}{m}(1 - \cos(\theta))}{m\omega} = -\frac{1 - \cos(\theta)}{m^2}
\end{aligned} \tag{64}$$

Sfruttando quest'ultima relazione si trova:

$$\begin{aligned}
m^4 \left( \frac{1}{m\omega} - \frac{1}{m\omega'} \right)^2 + m^2 \left( \frac{2}{m\omega} - \frac{2}{m\omega'} \right) &= (1 - \cos(\theta))^2 + 2(1 - \cos(\theta)) \\
&= -1 + \cos^2(\theta) = -\sin^2(\theta)
\end{aligned}$$

Possiamo quindi completare il calcolo dell'elemento di matrice:

$$|\mathcal{M}|^2 = \frac{e^4}{2m^2} \left[ \frac{\omega'}{\omega} + \frac{\omega}{\omega'} - \sin^2(\theta) \right] \tag{65}$$

Ricordando la definizione della costante di struttura fine

$$\alpha = \frac{e^2}{2m} \tag{66}$$

possiamo ultimare il calcolo della sezione d'urto Compton, ottenendo la formula di Klein-Nishima:

$$\frac{d\sigma}{d\Omega'} = \frac{\alpha^2}{(4\pi)^2} \left( \frac{\omega'}{\omega} \right)^2 \left[ \frac{\omega'}{\omega} + \frac{\omega}{\omega'} - \sin^2(\theta) \right] \tag{67}$$